



سنترز نانو بلورهای استانات دیسپرسیوم ($Dy_2Sn_2O_7$) با فاز پایروکلر به روش گرمابی و مشخصه‌یابی ساختاری و اپتیکی آنها

قاسم صداقتی جمال آباد، محمد مهدی باقری محققی*

گروه فیزیک، دانشکده فیزیک، دانشگاه دامغان

(دریافت مقاله: ۹۹/۹/۵، نسخه نهایی: ۹۹/۱۱/۲۵)

چکیده: در این پژوهش، نانوساختار پایروکلر استانات دیسپرسیوم ($Dy_2Sn_2O_7$) بعنوان یک ترکیب مهم یخ اسپینی به روش گرمابی تهیه شد و ویژگی‌های ساختاری و اپتیکی آن بررسی گردید. در سنترز این ترکیب، از محلول 0.1 M اکسید قلع 5 g مول $DyCl_4$; $5H_2O$ و عامل نتیرات دیسپرسیوم (III) ($Dy(NO_3)_3 \cdot xH_2O$) با نسبت‌های مولی $Dy/Sn = 1$, 0.7 , 0.5 , 0.3 , 0.2 , 0.1 استفاده شد. اثر عامل دیسپرسیوم (Dy) با درصدهای مختلف، بر تشكیل ترکیب استانات دیسپرسیوم با بازپخت در دمای $1100^\circ C$ درجه سانتیگراد در محیط عادی بررسی گردید. پراش پرتوی ایکس (XRD) نمونه‌ی بازپخت شده در دمای $1100^\circ C$ نشان داد. در نمونه‌های بازپخت شده در دماهای کمتر از $1100^\circ C$ حضور فاز دی اکسید قلع و فازهای ناپایدار دیگر نیز دیده شد. نتایج طیف‌ستجی مرئی - فرابنفش (UV-Vis) نشان داد که با افزایش عامل دیسپرسیوم، گاف انرژی در گستره 3.95 eV تا 2.50 eV تغییر می‌کند. تصاویر میکروسکوپ الکترونی روبشی گسیل میدانی (FE-SEM) تشكیل نانوبلورهای استانات دیسپرسیوم با ساختار پایروکلر را تایید کرد.

واژه‌های کلیدی: فاز اکسید پایروکلر؛ استانات دیسپرسیوم؛ ویژگی‌های ساختاری؛ روش گرمابی.

قطبی مغناطیسی ذراتی مشابه ذرات با بار الکتریکی است. همان طور که ذرات باردار الکتریکی منبع تولید میدان الکتریکی هستند، تک قطبی مغناطیسی نیز منبع تولید میدان مغناطیسی است. در صورت وجود ذرات تک قطبی مغناطیسی در شرایط ویژه، آنها باید به عنوان ذرات اصلی بنیادی در نظر گرفته شوند. به تازگی، فیزیکدانان ماده چگال موفق به ایجاد نسخه‌های مصنوعی از این ذرات عجیب در بلورهای اکسیدهای خاکی نادر با نام یخ اسپینی شده‌اند [۲]. دکتر لودویک جاوبرت و پروفسور نیک شادن رهبر گروه نظریه واحد کوانتموی ماده در موسسه علم و فناوری اکیناوا، به همراه پروفسور رودریک موینر از موسسه ماکس پلانک در سدن موفق به توضیح پیرامون مشاهده ساختار دولایه از یک تک قطبی مغناطیسی در اسپین‌های یخ زده شدند. فیزیکدان‌ها الکترون‌هایی در

مقدمه

امروزه یکی از اهداف اصلی فیزیکدانان نظری به دست آوردن قانون اتحاد بین نیروها و اثبات وجود یک خاستگاه مشترک برای همه نیروهای موجود در طبیعت است؛ با نظریه اتحاد نیروها، قوانین هستی به صورت جامع و زیباتر توصیف می‌شوند. یک قدم برای نزدیک شدن به این نظریه بزرگ پژوهش پیرامون تک قطبی مغناطیسی است [۱]. تکقطبی مغناطیسی موضوعی مهم در سال‌های اخیر بوده و هر بار با دیدگاه جدیدی بر تصور تقارن و دوگانگی معادله‌های الکترومغناطیسی متوجه است. دیراک در سال ۱۹۳۱ وجود ذراتی را پیشنهاد کرد که به طور ذاتی منبع تولید میدان مغناطیسی هستند و از این رو نام آنها را تک قطبی مغناطیسی گذاشت [۲، ۱]. منظور از تک

توجه قرار گرفته‌اند [۹]. کاتیون A^+ اغلب از عناصر خاکی نادر و یون B^+ از عناصر واسطه هستند [۱۰]. در ساختار پایروکلر، هر کاتیون A^+ توسط هشت آئیون اکسیژن O^- احاطه شده است. با توجه به گستردگی ترکیبات، تنوع بسیاری از ویژگی‌ها در این ترکیب‌ها وجود دارد. در دمای پایین، یخ‌های اسپینی ویژگی‌های جالبی دارند [۱۱]. این مواد در دمای پایین دارای آنتروپی پسماند بوده که مانند یخ-آب بلوری هستند [۱۲]. در این گروه، استانات لانتانیدها که از اکسیدهای پایروکلر هستند، دارای ویژگی‌های جالب و قابل توجهی از جمله درخشندگی، ابررسانایی، خاصیت فرومغناطیسی، کاتالیزوری در دماهای بالا و حسگری گازی هستند [۱۳].

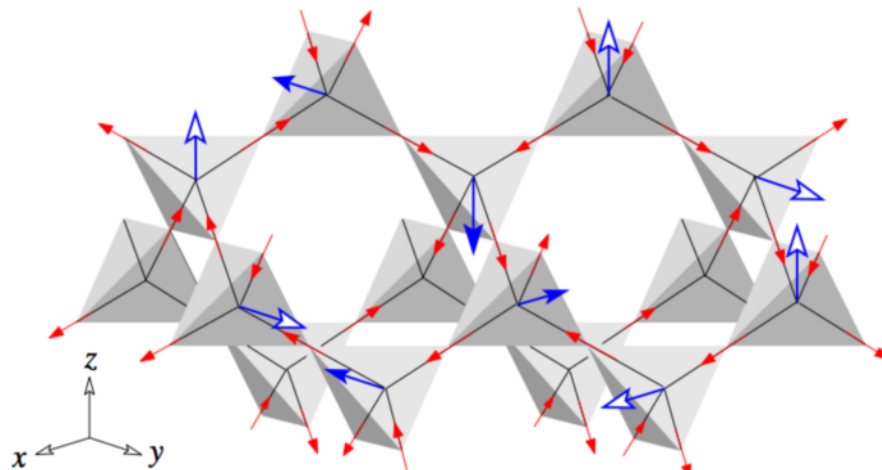
در میان اکسیدهای پایروکلر، استانات دیسپرسیوم $Dy_2Sn_2O_7$ [۱۴]، ترکیبی با کاربردهای گسترده به عنوان رسانایی یونی، الکتریکی، کاتالیزوری، باتری‌های یون لیتیومی و مقاوم در برابر تابش مخرب هسته‌ای است [۱۵]. در سال‌های اخیر، چند روش برای سنتز استانات لانتانیدها پیشنهاد شده است [۱۶]. از جمله این روش‌ها سل-ژل، سنتز آبی و احتراقی، ایروسول، پیرولیز (تفکافت) و گرمایی هستند که با آنها می‌توان نانوذرات و نانوبلورک‌های ماده را در دماهای متوسط سنتز نمود [۱۷].

در این پژوهش، از روش گرمایی برای سنتز ساختار پایروکلراستانات دیسپرسیوم با ریختار مکعبی استفاده شد. در مقایسه با روش‌های دیگر، این روش ساده، عملی و مقرر به صرفه‌تر است. با این روش، توزیع اندازه دانه‌ها همگن‌تر و اندازه متوسط ذرات کوچک‌تر و تناسب عنصری کامل‌تر است.

اسپین‌های یخ‌زده یافته‌اند که در دمای نزدیک صفر مطلق به صورت دسته جمعی مانند تک قطبی‌های مغناطیسی رفتار می‌کنند. این یافته از مهمترین کشفیات در ۱۵ سال اخیر است [۳]. یک تک قطبی مغناطیسی زمانی تولید می‌شود که اختلالی در جهت‌گیری اسپین بوجود آید؛ هر گروه اسپینی با اشتراک‌گذاری یک چاروجه‌ی با چاروجه‌ی همسایه باعث ایجاد یک تک قطبی مغناطیسی می‌شود که می‌توان آنها را پیرامون بلورها شبیه حرکت موجی طرفداران یک تیم در استادیوم در نظر گرفت که تک قطبی‌های از شارمغناطیسی مخالف را بوجود می‌آورند [۴]. این تک قطبی‌های مغناطیسی ذرات واقعی شبیه الکترون‌ها و پروتون‌ها نیستند، اما به صورت شبه ذرات معرفی می‌شوند، زیرا به نظر می‌رسد که با یک رفتار جمعی پیرامون اتم‌ها و الکترون‌ها به طور موثر با هم در تعامل هستند.

یخ اسپینی دسته‌ای از مواد بلوری با ساختارهای پیچیده چندوجهی هستند که یون‌های مثبت فلزی و یون منفی اکسیژن در چهارطرف شبکه هرمی شکل در قفسه‌هایی با ساختار چاروجه‌ی قرار دارند. یخ اسپینی چند حالت کمینه انرژی دارد [۵]. چیدمان چاروجه‌ها در ساختار بلوری به فاز پایروکلر منجر می‌شود [۶]. با توجه به شکل ۱، هر یک از چهار اتم در راس هرم چاروجه‌ی مغناطیس کوچک داخلی را با خود حمل می‌کنند که یخ اسپینی نامیده شده [۷] و راستای آن اغلب با یک پیکان به سمت شمال یا جنوب نشان داده می‌شود [۸].

از میان ساختارهای یخ اسپینی، اکسیدهای پایروکلر مغناطیسی با فرمول شیمیایی عمومی $A_2B_2O_6O$ بیشتر مورد



شکل ۱ جهت‌گیری اسپین‌ها در شبکه پایروکلر هرمی شکل ساختار یخ‌های اسپینی [۳].

تصویربرداری با میکروسکوپ الکترونی اثر میدان (FE-SEM) بررسی شد. ساختار نانو بلورکهای تهیه شده با پراش‌ستج پرتوی ایکس Bruker D8 با تابش تکفام $\text{CuK}\alpha$ با طول موج $\lambda = 0.15405 \text{ nm}$ فارسی بررسی گردید. ریختار و اندازه دانه‌ها بوسیله میکروسکوپ الکترونی رو بشی اثر میدانی TF-SCAN MIRA3 نمونه‌ها در دمای اتاق با طیف‌ستج UV-Vis Shimadzu UV-1700 مدل UV-Vis در گستره طول موجی ۱۱۰۰-۱۹۰۰ نانومتر ثبت گردید.

نتایج و بحث

در شکل ۳، الگوهای XRD نانوپودرهای با تراکم عامل دیسپرسیوم $\text{Dy}_2\text{Sn}_2\text{O}_7$ با نسبت مولی $\text{Dy}/\text{Sn} = 0.1$ از بازپخت آورده شده است. تحلیل الگوها با نرم افزار X'PERT XRD نشان می‌دهد که ترکیب‌های به دست آمده بلورینگی ضعیفی دارند. این نتیجه با گزارش‌های بین‌المللی منتشر شده همخوانی دارد. [۱۸]

مواد و روش‌ها

چنان‌که در شکل ۲ نشان داده است، برای تهیه محلول اولیه، نخست 0.1 مول از اکسید قلع ۵ آبه ($\text{SnCl}_4 \cdot 5\text{H}_2\text{O}$) در 100 سی سی آب دوبار یونیده حل شد. همزدن را تا شفافیت محلول ادامه دادیم. سپس، محلول به ۵ قسمت مساوی تقسیم شده و در هر قسمت، مقدار معینی از عامل نیترات دیسپرسیوم III با نسبت‌های مولی مختلف ($0.1, 0.3, 0.5, 0.7, 0.9$) اضافه شد. پس از افزودن دیسپرسیوم، محلول به مدت 8 ساعت در دمای 80°C درجه سانتی گراد به آرامی هم زده شد تا رنگ محلول به سفید یکدست تبدیل گردید. سپس، محلول دوغابی به دست آمده برای 3 ساعت در خشک کن با دمای 150°C درجه سانتی گراد قرار گرفت. سرانجام، پودرهای بدست آمده در کوره 600°C درجه سانتی گراد و سپس 1100°C درجه سانتی گراد به مدت 2 ساعت بازپخت شدند. ویژگی‌های ساختاری و اپتیکی نمونه‌ها پس از هر مرحله از بازپخت با پراش پرتوی ایکس (XRD)، طیف‌ستجی UV-Vis و

تهیه محلول اولیه:

افزودن 0.1 مول کلرید قلع ۵ آبه ($\text{SnCl}_4 \cdot 5\text{H}_2\text{O}$) به 100 سی سی آب مقطر دوبار یونیده

تقسیم محلول به ۵ قسمت مساوی و اضافه کردن افزودنی نتیرات دیسپرسیوم به محلول با نسبت مولی $\text{Dy}/\text{Sn} = 0.1, 0.3, 0.5, 0.7, 0.9$

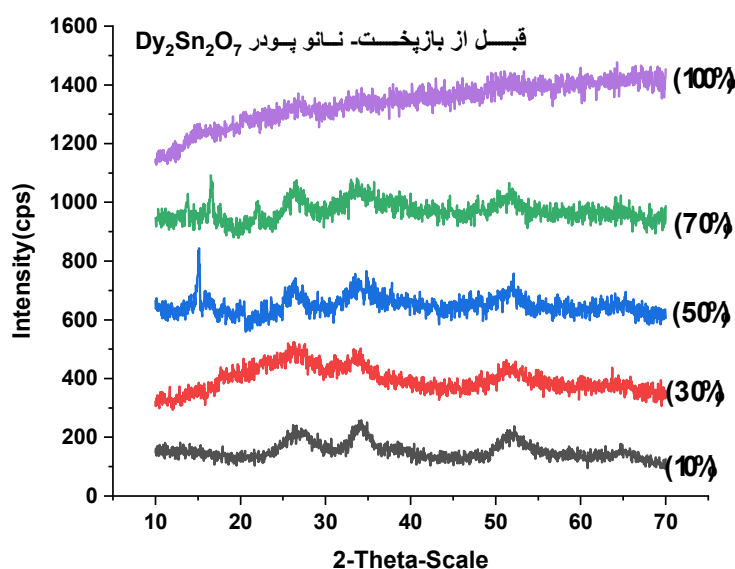
همزدن محلول به آرامی به مدت 8 ساعت در دمای 80°C درجه سانتی گراد، تا زمانی که رنگ محلول به سفید یکدست تبدیل شد.

خشک کردن محلول دوغابی به دست آمده در خشک کن با دمای 150°C درجه سانتی گراد برای 3 ساعت

مرحله بازپخت: بازپخت پودرهای به دست آمده در کوره جعبه‌ای در دمای 1100°C به مدت 2 ساعت

مرحله مشخصه یابی: بررسی نمونه‌ها با پراش پرتوی X (XRD)، طیف‌ستجی UV-Vis و تصویربرداری با میکروسکوپ الکترونی رو بشی FE-SEM

شکل ۲ مراحل سنتز نانو پودر ترکیب استانات دیسپرسیوم (Dy₂Sn₂O₇).

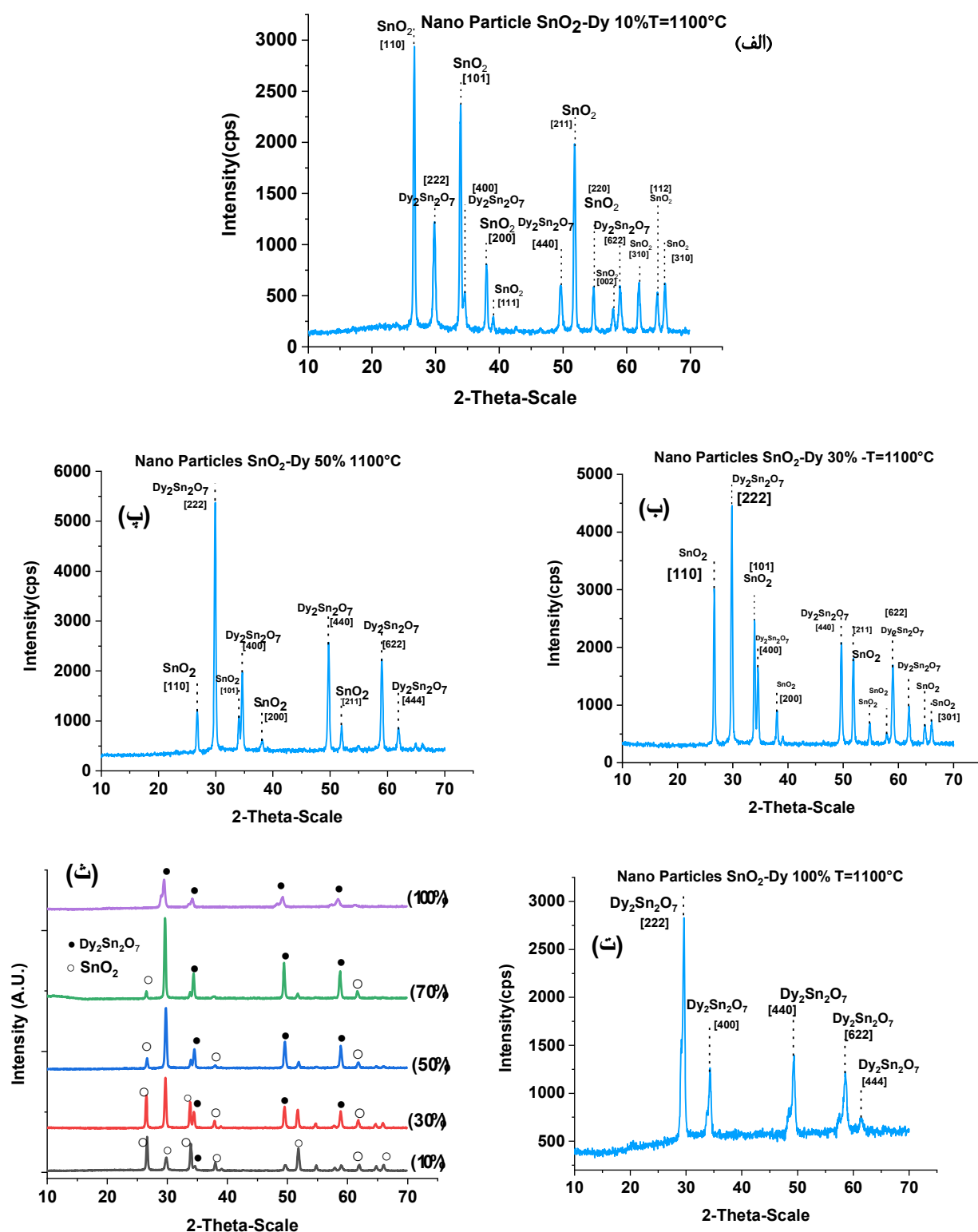


شکل ۳ الگوهای پراش پرتوی X (XRD) نمونه‌ها پیش از بازپخت.

($\text{Dy}_2\text{Sn}_2\text{O}_7$) بیشتر می‌شود. در جدول ۱، یافته‌های ساختاری شامل فاصله صفحات بلوری (d)، پهنهای قله‌ها در نیم شدت بیشنه (FWHM) و اندازه بلورک‌ها (D) محاسبه شده بر پایه رابطه شر آمده است. با افزایش غلظت دیسپرسیوم، روند افزایشی اندازه بلورک‌ها با توجه به راستای ارجح [۲۲۲] دیده می‌شود. این امر نشان می‌دهد که با افزایش تراکم دیسپرسیوم احتمال جانشینی یون Dy^{3+} در جایگاه‌های شبکه‌ای اکسید قلع افزایش می‌یابد.

در شکل ۵، تصاویر میکروسکوپ الکترونی-روبشی از ریختار سطحی نمونه‌های با تراکم‌های عامل دیسپرسیوم ۳۰، ۵۰ و ۱۰۰ درصد پیش و پس از بازپخت در دمای 1100°C نشان داده شده است. دیده می‌شود که ریختار سطحی ذرات پس از بازپخت به صورت نانوبلورهای چندوجهی بوده و اندازه بلورک‌ها با بازپخت بزرگتر شده است. با توجه به ویژگی‌های سطحی و مقدار انرژی شیمیایی بالا در اکسیدهای پایروکلر، ترکیب این مواد در حالت کمینه انرژی است. از این‌رو، لکه‌های تیره در تصاویر نمونه‌ها پیش از بازپخت قابل مشاهده است و پس از بازپخت دانه‌های بلوری رشد کرده‌اند.

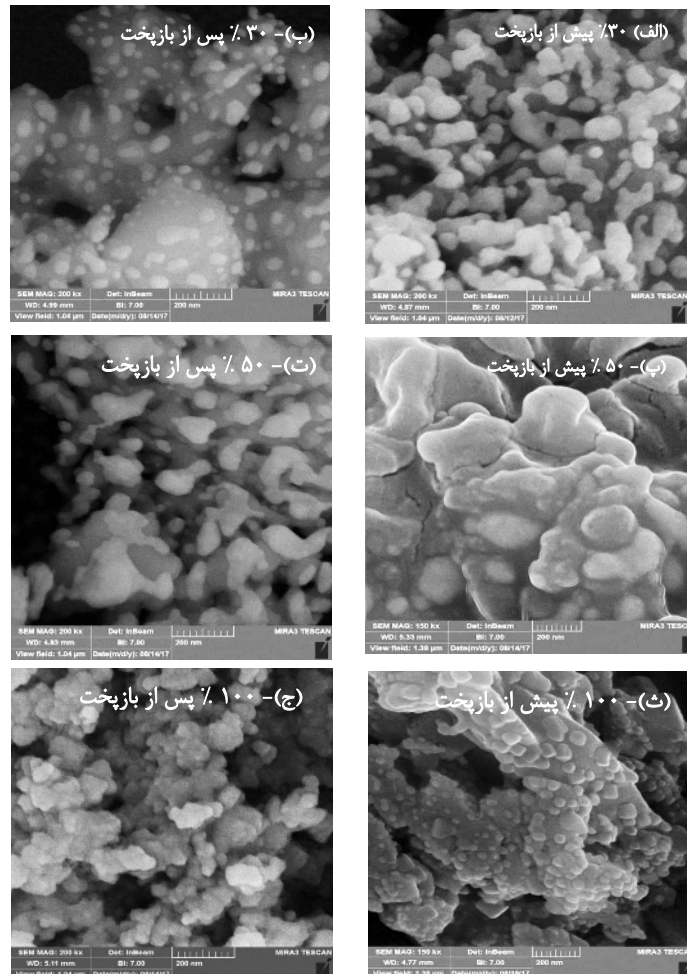
نمونه‌های با درصدهای مختلف عامل دیسپرسیوم به مدت ۲ ساعت در دمای 1100°C در یک کوره جعبه‌ای بازپخت شدند. شکل ۴ الگوهای پراش پرتوی X نمونه‌های با درصد دیسپرسیوم ۱۰، ۳۰، ۵۰ و ۱۰۰ درصد را نشان می‌دهد. در این دما، تجزیه‌ی کامل فازهای آلی انجام شده است و فازهای معدنی SnO_2 و Dy_2SnO_7 تشکیل شده‌اند. در الگوهای پراش همه نمونه‌ها، قله‌های مربوط به ترکیب استانات دیسپرسیوم (Dy_2SnO_7) البته با شدت‌های متفاوت ظاهر شده‌اند. برای نمونه با ۱۰٪ عامل دیسپرسیوم (Dy)، فاز غالب اکسید قلع (SnO₂) است (شکل ۴ (الف) و با افزایش Dy ، بتدریج فاز غالب استانات دیسپرسیوم ($\text{Dy}_2\text{Sn}_2\text{O}_7$) می‌شود. چهار راستای بلوری شناسایی شده در نمونه‌ها با شاخص‌های میلر [۲۲۲]، [۴۰۰]، [۴۴۰] و [۶۲۲] مربوط به ساختار مکعبی فاز استانات-دیسپرسیوم است. نمونه با عامل دیسپرسیوم ۱۰۰ درصد از ساختار تک فاز استانات دیسپرسیوم "تشکیل شده است. الگوی پراش همه نمونه‌ها برای مقایسه با فاز استانات دیسپرسیوم در شکل ۴ ث آمده است. چنان که دیده می‌شود، با افزایش تراکم دیسپرسیوم، شدت قله متناظر با ساختار استانات دیسپرسیوم



شکل ۴ الگوهای پراش پرتوی X (XRD) نمونه‌های با درصد عامل دیسپرسیوم (الف) ۰٪، (ب) ۵٪، (پ) ۱۰٪ و (ت) ۱۰۰٪ پس از بازپخت در دمای ۱۱۰۰ °C به مدت ۲ ساعت و (ج) نمودار مقایسه‌ای همه نمونه‌ها.

جدول ۱ مشخصه‌ساختاری در نمونه‌های با درصدهای مختلف Dy پس از بازپخت.

hkl	2θ (°)	فاصله صفحات (Å)	شدت نسبی قله در ترکیب	بهانی قله (2θ °)	متوجه اندازه بلورک (nm)
$\text{SnO}_2\text{-Dy } 10\%-11\%$					
۱۱۰	۲۶,۵۹	۳,۳۴	۱۰۰	۰,۲۷۰	۳۶,۳
۲۲۲	۲۹,۷۷	۲,۹۹	۳۷,۹۴	۰,۳۶۹	۲۵,۴
۱۰۱	۳۳,۸۷	۲,۶۴	۸۱,۶۸	۰,۲۸۶	۳۴,۵
$\text{SnO}_2\text{-Dy } 30\%-11\%$					
۱۱۰	۲۶,۶۲	۳,۳۴	۶۷,۱۱	۰,۲۴۸	۴۰,۲
۲۲۲	۲۹,۸۰	۲,۹۹	۱۰۰	۰,۲۷۲	۳۶,۲
۱۰۱	۳۳,۹۱	۲,۶۴	۵۲,۹۷	۰,۲۵۳	۳۹,۹
$\text{SnO}_2\text{-Dy } 50\%-11\%$					
۱۱۰	۲۶,۷۴	۳,۳۳	۱۶,۱۳	۰,۲۹۷	۳۲,۴
۲۲۲	۲۹,۸۷	۲,۹۸	۱۰۰	۰,۲۹۳	۳۳,۲
۱۰۱	۳۴,۰۳	۲,۶۳	۱۳,۵۰	۰,۲۶	۳۸,۶
$\text{SnO}_2\text{-Dy } 70\%-11\%$					
۱۱۰	۲۶,۶۳	۳,۳۴	۸,۴۶	۰,۲۵	۳۹,۸
۲۲۲	۲۹,۷۴	۳,۰۰	۱۰۰	۰,۲۴۶	۴۰,۹
۱۰۱	۳۳,۹۱	۲,۶۴	۶,۸۱	۰,۲۴	۴۲,۶
$\text{SnO}_2\text{-Dy } 100\%-11\%$					
۲۲۲	۲۹,۵۳	۳,۰۲	۱۰۰	۰,۴۱۶	۲۲,۱
۴۰۰	۳۴,۳۲	۲,۶۱	۱۴,۸۲	۰,۴۶	۲۰,۰
۴۴۰	۴۹,۳۶	۱,۸۴	۱۷,۰۹	۰,۴۹	۱۹,۶



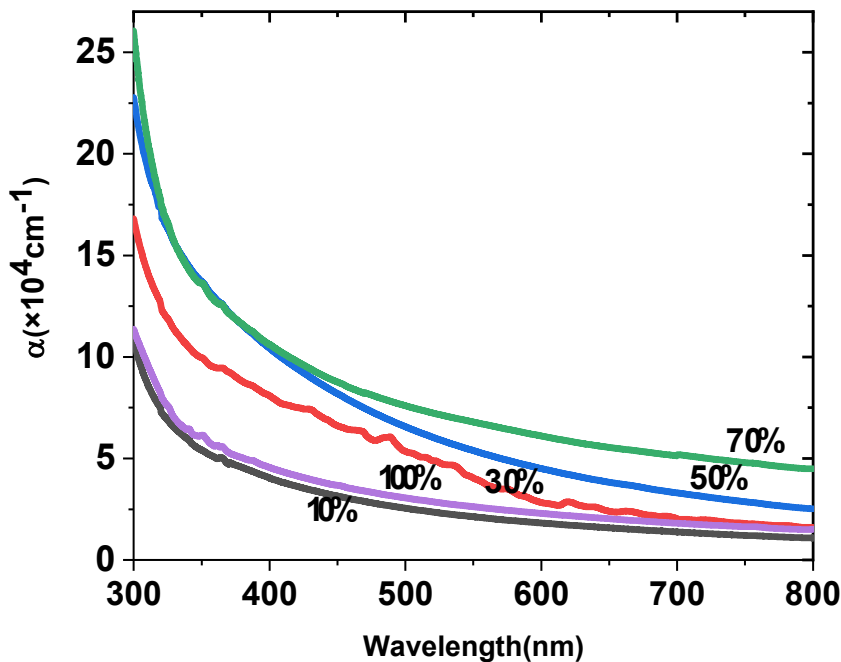
شکل ۵ تصاویر FE-SEM از ریختار سطحی نانوبلورهای نمونه‌های با تراکم‌های مختلف عامل Dy٪۳۰، ٪۵۰ و ٪۱۰۰، پیش و پس از بازپخت در دمای 1100°C .

نمونه‌های با تراکم Dy مختلف در گستره $2,50$ تا $3,85$ eV است. از عوامل موثر بر تغییرگاف انرژی، تغییر ساختار و نواقص بلوری در اثر تغییر اندازه دانه‌ها با بازپخت نمونه‌هاست. از طرف دیگر، با توجه به تغییر غلظت دیسپرسیوم، تغییر گاف انرژی بر تشکیل نانوبلورهای استانات دیسپرسیوم، تغییر گاف انرژی مربوط به کامل شدن ساختار ترکیب استانات دیسپرسیوم بدون نقایص بلوری در اثر اکسیدشدن ترکیب طی بازپخت در کوره و رسیدن به تناسب عنصری کامل ساختاری است.

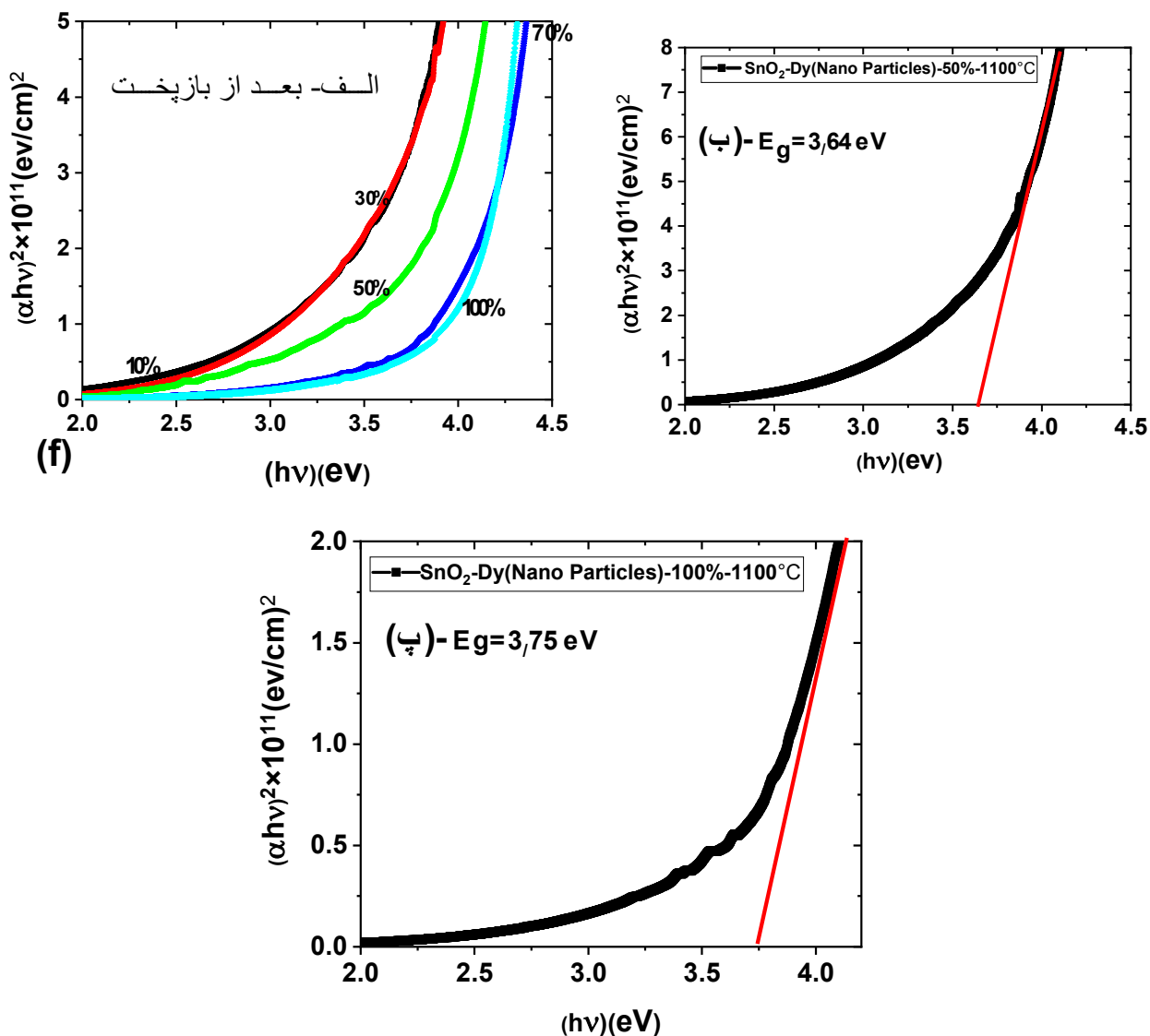
مقدار گاف انرژی نمونه‌های با 50 و 100 درصد Dy پس از بازپخت در جدول 2 آمده است. دیده می‌شود که پس از بازپخت، گاف انرژی افزایش می‌یابد که می‌توان آن را به افزایش میزان اکسیدشدن و رسیدن به حالت عایق کامل فاز استانات دیسپرسیوم نسبت داد. نتایج بررسی‌های اپتیکی از سوی دیگران نیز گزارش شده است [۲۰، ۱۹].

نتایج بدست آمده نشان می‌دهد که ترکیب استانات دیسپرسیوم می‌تواند برای ساخت آشکارسازها، دیودها، فوتولالیزورها و لیزرهای نیمرسانا استفاده شود.

برای بررسی ویژگی‌های اپتیکی، بر اساس یافته‌های XRD و تصاویر FE-SEM دو نمونه با تراکم عامل دیسپرسیوم 50 و 100 درصد انتخاب شده و عبور و جذب نور در UV-Vis در گستره طول موجی 190 تا 1100 نانومتر از آنها در دمای اتاق اندازه‌گیری شد. شکل ۶ طیف‌های جذب نمونه‌های با تراکم 10 ، 30 ، 50 ، 70 و 100 درصد پس از بازپخت در دمای $1100^{\circ}C$ را نشان می‌دهد. دیده می‌شود که جذب نمونه‌ها با افزایش عامل Dy بتدريج افزایش و سپس در نمونه 100 درصد کاهش می‌يابد. نمونه‌های 50 و 70 درصد پس از بازپخت جذب بيشتری دارند. در نمونه 100 ٪ پس از بازپخت، بدليل تشکیل ($Dy_2Sn_2O_7$) کامل ساختار بلوری استانات دیسپرسیوم شفافیت نوری افزایش و در نتیجه جذب کاهش می‌يابد. براساس قانون بیر-لامبرت، جذب و شفافیت عکس هم هستند. مقدار گاف انرژی همه نمونه‌ها براساس داده‌های طیفسنجی UV-Vis تعیین شد که نمودارهای تاوك آنها در شکل ۷ نشان داده است. در شکل ۷ الف، دیده می‌شود که مقدار گاف انرژی



شکل ۶ نمودارهای جذب نوری نانو بلورها با تراکم عامل دیسپرسیوم 10 ٪، 30 ٪، 50 ٪، 70 ٪ و 100 ٪ پس از بازپخت در دمای $1100^{\circ}C$.



شکل ۷ نمودارهای تاواک برای تعیین گاف انرژی (الف) همه نمونه‌ها، (ب) نمونه با تراکم عامل دیسپرسیوم ۵۰٪ و (پ) نمونه با دیسپرسیوم ۱۰۰٪ از بازپخت در دمای ۱۱۰۰ °C.

جدول ۲ اندازه گاف انرژی نمونه‌های با درصد تراکم عامل دیسپرسیوم ۵۰٪ و ۱۰۰٪ پیش و پس از بازپخت در دمای ۱۱۰۰ °C.

نمونه	گاف انرژی پیش از بازپخت (eV)	گاف انرژی پس از بازپخت (eV)
Dy ۵۰٪ عامل	۲.۳۴	۳.۶۴
Dy ۱۰۰٪ عامل	۲.۱۵	۳.۷۵

است. با توجه به تصاویر میکروسکوپ الکترونی (FE-SEM) نمونه‌های پس از بازپخت، اندازه دانه‌ها افزایش می‌یابد. بر اساس نتایج بدست آمده از طیف‌سنجی UV-Vis، نمونه با تراکم عامل دیسپرسیوم ۳۰٪ دارای کمترین مقدار گاف انرژی و

برداشت بر اساس الگوهای پراش پرتوی X خالص‌ترین حالت ترکیب استانات دیسپرسیوم $(\text{Dy}_2\text{Sn}_2\text{O}_7)$ مربوط به نمونه با تراکم عامل دیسپرسیوم ۱۰۰٪ پس از بازپخت در دمای ۱۱۰۰ °C

- [8] Reimers J. N., Greedan J. E., Sato M., “the crystal structure of the spin-glass pyrochlore”, Y₂Mo₂O₇, *J. Solid State Chem.* 72 (1988) 390–4.
- [9] Mizoguchi H., Eng H.W., Woodward P. M., “probing the electronic structure of ternary perovskite and pyrochlore oxides containing Sn⁴⁺ and Sb⁵⁺”, *Inorg. Chem.* 43 (2004) 1667–80.
- [10] Park S., Hwang H. J., Moon J., “Catalytic combustion of methane over rare earth stannate pyrochlore”, *Catal. Lett.* 87 219–23
- [11] Li K. W., Wang H., Yan H., “Hydrothermal preparation and photocatalytic properties of Y₂Sn₂O₇ nanocrystals”, *J. Mol. Catal. A*, 249 (2006) 65–70
- [12] Subramanian M. A., Aravamudan G., Rao G. V. S., “Oxide pyrochlores—a review Prog”, *Solid State Chem.* 15 (1983) 55–143.
- [13] Matsuhira K., Hinatsu Y., Tenya K., Amitsuka H., Sakakibara T., “Low-temperature magnetic properties of pyrochlore stannates”, *J. Phys. Soc. Japan*, 71 (2002) 1576–82.
- [14] Pavlov R., Blasco V., Cordoncillo E., Escribano P., Carda J. B., “Synthesis of new red coloured ceramic pigments by Pechini method”, *Bol. Soc. Espanola Ceram. Vidrio*, (2000) 39609–15.
- [15] Pavlov R. S., Castello J. B. C., Marza V. B., Hohemberger J. M., “New red-shade ceramic pigments based on Y₂Sn_{2-x}Cr_xO_{7-x} pyrochlore solid solutions”, *J. Am. Ceram. Soc.* 85 (2002) 1197–202.
- [16] Sickafus K. E., Minervini L., Grimes R. W., Valdez J. A., Ishimaru M., Li F., McClellan K. J., Hartmann T., “Radiation tolerance of complex oxides”, *Science*, 289 (2002) 748–51.
- [17] Matteucci F., Cruciani G., Dondi M., Baldi G., Barzanti A., “Crystal structural and optical properties of Cr-doped Y₂Ti₂O₇ and Y₂Sn₂O₇ pyrochlores”, *Acta Mater.* 55 (2007) 2229–38.
- [18] Chen Z.J., Zu X.T., Wang X.Q., “Advanced Materials Research”, Vols 26-28 (2007) pp 933-936 Online: 2007-10-02,
doi:10.4028/www.scientific.net/AMR.26-28.933

نمونه با ۷۰٪ دیسپرسیوم دارای بالاترین مقدار جذب در این محدوده دمایی است. بنابراین نمونه با تراکم Dy کمتر (٪۱۰) به دلیل تشکیل ترازهای ناخالصی در گاف انرژی، مناسب کاربست در زمینه نیمرساناهای نوری، فتو کاتالیزوری و نمونه با تراکم Dy ۱۰۰ درصد شامل بلورهای استانات دیسپرسیوم، مناسب برای کاربردهای اسپین یخ زده و جذب تابش‌های هسته‌ای در آشکارسازهای هسته‌ای هستند.

مراجع

- [1] Pavlov R., Blasco V., Cordoncillo E., “Escribano P and Carda J B”, Synthesis of new red coloured ceramic pigments by Pechini method *Bol. Soc. Espanola Ceram. Vidrio* (2000) 39609–15.
- [2] Li K W., Wang H., Yan H, “Hydrothermal preparation and photocatalytic properties of Y₂Sn₂O₇ nanocrystals *J. Mol. Catal. A* 249 (2006) 65–70.
- [3] Subramanian M. A., Aravamudan G., Rao G. V. S., “Oxide Pyrochlores—a review”, *Prog. Solid State Chem.* 15 (1983) 55–143
- [4] Mizoguchi H., Eng H. W., Woodward P. M., “Probing the Electronic structure of ternary perovskite and pyrochlore Oxides containing Sn⁴⁺ and Sb⁵⁺”, *Inorg. Chem.* 43 (2004) 1667–80
- [5] Teraoka Y., Torigoshi K. I., Yamaguchi H., Ikeda T., Kagawa S., “Direct decomposition of nitric oxide over Stannate pyrochlore oxides: relationship between solid-state Chemistry and catalytic activity”, *J. Mol. Catal. A* 155(2000) 73–80.
- [6] Siddharthan R., Shastry B. S., Ramirez A. P., Hayashi A., Cava R. J., Rosenkranz S., *Physical Review Letters*, 83, 1854 (1999).
- [7] Jaubert L. D. C., Moessner R., “Multiferroicity in spin ice: Towards magnetic crystallography of Tb₂Ti₂O₇ in a field”, *Physical Review B: Condensed matter and materials physics*, American Physical Society, 2015, 91 pp.214422

photocatalyst for the degradation of organic pollutants under visible irradiation, Sahar Zinatloo-Ajabshira, M. S. Morassaeib, O. Amiric, M. Salavati-Niasarib, *Ceramic International*, Vol. 46, 5, 2020, pp. 6095-6107.

[19] Harris X.Q., Bramwell S. T., McMorrow D. F., Zeiske T., Godfrey K. W., *Phys. Rev. Lett.*, Vol. 79, p. 2554 (1997).

[20] Green synthesis of dysprosium stannate nanoparticles using *Ficus carica* extract as